

مجله علوم و صنایع غذایی ایران

سایت مجله: www.fsct.modares.ac.ir



مقاله علمی-پژوهشی

اثر ترکیبی توان مایکروویو - غلظت پوشش خوراکی بر خصوصیات فیزیکوشیمیایی برش‌های میوه

سیب خشک شده

سالار کرمی^۱، رضا فرهمندفر^{۲*}، جمشید فرمانی^۳، زینب رفتی امیری^۳، علی متولی^۴

۱- دانشجوی دکتری، گروه علوم و صنایع غذایی، دانشگاه علوم کشاورزی و منابع طبیعی ساری، ایران.

۲- دانشیار، گروه علوم و صنایع غذایی، دانشگاه علوم کشاورزی و منابع طبیعی ساری، ایران.

۳- استاد، گروه علوم و صنایع غذایی، دانشگاه علوم کشاورزی و منابع طبیعی ساری، ایران.

۴- دانشیار، گروه مهندسی مکانیک بیوسیستم، دانشگاه علوم کشاورزی و منابع طبیعی ساری، ایران.

چکیده

اطلاعات مقاله

تاریخ های مقاله :

تاریخ دریافت: ۱۴۰۰/۰۹/۲۳

تاریخ پذیرش: ۱۴۰۱/۰۶/۰۸

هدف از این پژوهش، بررسی اثر پوشش‌های خوراکی ریحان، مرو و کیتوزان بر خصوصیات فیزیکوشیمیایی برش‌های خشک شده میوه سیب در مایکروویو بود. در این پژوهش، برش‌های میوه سیب در سه غلظت (۰، ۰/۵ و ۱ درصد) با ریحان، مرو و کیتوزان پوشش دهی شدند و تحت تیمار با امواج مایکروویو در توان‌های مختلف (۹۰، ۱۸۰ و ۳۶۰ وات) قرار گرفتند. مولفه‌های سنتیک خشک کردن، رنگ، بافت و فعالیت آنتی‌اکسیدانی برگه‌های سیب بررسی شد. تجزیه و تحلیل داده‌ها حاکی از آن بود که خشک کردن ورقه‌های سیب تنها در محدوده دوره سرعت نزولی اتفاق افتاد. این داده‌ها با ۷ مدل تجربی متفاوت برآش شدند که از بین این مدل‌ها، مناسب‌ترین مدل برای پوشش‌های صمغ ریحان، مرو و کیتوزان به ترتیب، مدل میدیلی و همکاران، تقریب و ورما بود که میدیلی و همکاران با دقت بیشتری نسبت به سایر مدل‌ها قادر به پیش‌بینی محتوی رطوبتی بود. همچنین، مقدار مولفه‌های روشنایی، چسبندگی، پیوستگی و فعالیت آنتی‌اکسیدانی با افزایش غلظت پوشش و توان مایکروویو، افزایش اما مقدار قرمزی، زردی، قهوه‌ای شدن، تغییر رنگ کلی و سفتی کاهش یافت. به طور کلی، پوشش دهی خوراکی یکی از روش‌های نوین که سبب افزایش مدت زمان نگهداری و کیفیت محصول نهایی می‌شود. لذا، تیمار میوه‌ها با استفاده از پوشش‌های خوراکی برای افزایش کیفیت ظاهری، بهبود رنگ در انتهای فرآیند خشک کردن پیشنهاد می‌گردد.

کلمات کلیدی:

مایکروویو،

ستیک خشک کردن،

فعالیت آنتی‌اکسیدانی،

بافت.

DOI: 10.22034/FSCT.20.134.1

DOR: 20.1001.1.20088787.1402.20.134.1.5

*مسئول مکاتبات:

r.farahmandfar@sanru.ac.ir

که مولکول‌های قطبی نظیر آب و نمک‌ها مرتعش شده و به انرژی گرمایی تبدیل گردند. برخلاف سایر روش‌های خشک‌کردن که حرارت از سطح به عمق نفوذ پیدا می‌کند، در این روش حرارت در خود ماده غذایی تولید می‌گردد و لذا از ایجاد پدیده سخت‌شدن پوسته جلوگیری می‌کند^[۹]. پوشش‌های خوراکی لایه‌های نازکی از مواد هستند که سدی در مقابل انتقال رطوبت اکسیژن و مواد حل شده در محصول ایجاد می‌کنند^[۱۱]. پوشش‌دهی میوه‌جات تازه یک روش جایگزین برای انبار اتمسفر اصلاح شده است و می‌تواند به وسیله تغییرات کیفی و کاهش کمیت از طریق اصلاح و کنترل اتمسفر داخلی میوه‌جات استفاده شود^[۱۲]. پوشش‌های خوراکی به سه روش، مانع فساد و آلوگی میکروبی و افزایش کیفیت می‌شوند: نامساعد کردن شرایط رشد و فعالیت میکروارگانیزم‌ها (مانند فعالیت آبی و اکسیژن)، ممانعت فیزیکی از نفوذ آنها به درون محصول و وجود ترکیبات ضد میکروبی در پوشش‌های خوراکی^[۱۳]. استفاده از پوشش‌های خوراکی از سال ۱۹۹۵ مورد توجه قرار گرفت. بررسی‌ها نشان داد استفاده از پوشش‌های خوراکی، چگالی ظاهری محصول را کاهش می‌دهد^[۱۴]. صمغ دانه ریحان از جمله هیدروکلولئیدهایی است که اخیراً پژوهش‌های متعددی بر روی آن صورت پذیرفته است. حسینی پرور و همکاران در سال ۲۰۱۰، ترکیب شیمیایی صمغ دانه ریحان را اندازه گیری کردند. پلی‌ساقارید استخراج شده از دانه ریحان شامل دو بخش اصلی از گلوكومانان (۴۳ درصد) و گزیلان (۲۶/۲۹ درصد) و نیز دارای بخش کوچکی گلوكان (۲/۳۱ درصد) می‌باشد. همچنین حضور آرایینوکالاکتان بسیار منشعب علاوه بر گلوكومانان و گزیلان گزارش شده است^[۱۵]. صمغ حاصل از دانه مرو، یک صمغ آنیونی از نوع گالاکتومنان با وزن مولکولی متوسط (۴۰۰ کیلو دالتون) و ساختار سفت میله مانند است که از نظر رئولوژیکی محلول‌های صمغ دانه مرو رفتار شل‌شونده با بش را نشان می‌دهد^[۱۶]. کیتوزان یک پوشش جدید خوراکی است که ساختمان چند قدمی دارد و از واحدهای گلوكراامین و ان - استیل گلوكراامین با اتصالات بتا (۱۰۴) تشکیل شده است و از پوسته سخت پوسته‌ای مانند خرچنگ و میگو به دست می‌آید^[۱۷]. مهم‌ترین جنبه فناوری خشک‌کردن، مدل‌سازی ریاضی فرآیندها و تجهیزات خشک‌کردن است. از مهم‌ترین

۱- مقدمه

سیب درختی به عنوان یک میوه بسیار مفید و یکی از مهم‌ترین ارکان سبد غذایی در سراسر جهان است. در کشور ایران، سیب درختی از محصولات باغبانی بخش کشاورزی به شمار می‌رود. براساس اطلاعات وزارت جهاد کشاورزی، سطح زیر کشت سیب درختی، ۲۴۷۴۷ هکتار با تولید ۴۲۱۷۱۷۲ تن در سال ۱۳۹۹ بوده است [۱]. به طور کلی، میوه‌ها و سبزیجات به دلیل داشتن رطوبت زیاد، محصولاتی بسیار فسادپذیر محسوب می‌شوند^[۲]. بر این اساس، در مقایسه با سایر محصولات گیاهی مانند دانه‌ها، فعالیت متابولیکی نسبتاً بالایی از خود نشان می‌دهند. این فعالیت متابولیکی پس از برداشت همچنان ادامه دارد، بنابراین باعث می‌شود که بیشتر میوه‌ها فسادپذیر باشند و در نتیجه ضایعات محصولات کشاورزی افزایش می‌یابد^[۳]. سیب درختی بیشتر به صورت تازه‌خوری مصرف می‌شود. همچنین، پس از برداشت آسیب‌پذیر بوده و به دلیل محتوی رطوبتی بالا در معرض فساد قرار دارد. یکی از راهکارهای مؤثر در کاهش ضایعات محصولات کشاورزی و جلوگیری از فساد آنها در مرحله پس از برداشت، کاهش میزان رطوبت محصول تا حد مطلوب می‌باشد^[۴]. رطوبت بالا موجود در محصول، سبب رشد و فعالیت میکروارگانیسم‌ها و ایجاد واکنش‌های شیمیایی نامطلوب شده و ماندگاری آنها را کاهش می‌دهد^[۵]. خشک کردن یکی از شاخص‌ترین و قدیمی‌ترین روش‌های فرآوری و نگهداری محصولات کشاورزی است که با کاهش میزان رطوبت محصول، سبب تقلیل در سرعت فعل و انفعالات شیمیایی از قبیل قهقهه‌ای شدن و اکسیداسیون شده و درنتیجه، مدت ماندگاری محصولات را افزایش می‌دهد. بدین ترتیب می‌توان ماده غذایی را با اطمینان و با عمر انبارمانی بالا ذخیره کرده و یا جهت صادرات (در عین به حداقل رساندن ضایعات) انتقال داد^[۶]. اندازه و نحوه توزیع منافذ در بافت میوه‌های خشک تحت تأثیر روش خشک‌کردن قرار می‌گیرد^[۷]. بنابراین، امروزه فرآیند خشک‌کردن با روش‌های مختلفی انجام می‌گردد. خشک‌کردن با مایکروویو به عنوان روش نوین خشک‌کردن شناخته شده است^[۸]. امواج مایکروویو در هنگام عبور از بافت مواد غذایی باعث می‌شوند

مقادیر مناسب از پودر کیتوزان در ۵۰ میلی لیتر اسید استیک و ۹۰۰ میلی لیتر آب مقطر حل شدند. از پلاستی سایزر سوربیتول به مقدار ۵ گرم استفاده شد. pH محلول به وسیله سود ۰/۱ نرمال روی ۵ تنظیم و در نهایت محلول به حجم ۱۰۰ میلی- لیتر جهت استفاده در آزمون‌ها رسانده شد [۲۰، ۲۱ و ۲۲].

۲-۳-پوشش‌دهی و فرآیند خشک کردن

میوه‌های سیب به صورت دستی شسته و به وسیله اسلاسیر در اندازه‌های یکسان تهیه و وزن اولیه آنها تعیین گردید. سپس، برش‌های سیب در شرایط دمایی محیط در محلول‌های پوششی (به مدت ۳۰ ثانیه) غوطه‌ور شدند و تعدادی از برش‌های سیب بدون پوشش، به عنوان شاهد استفاده شد. بعد از اتمام پوشش‌دهی، نمونه‌ها به مایکروویو در توان‌های مختلف ۹۰، ۱۸۰ و ۳۶۰ و متنقل شدند. پس از خشک کردن نمونه‌ها، آزمون‌های نهایی انجام گرفت.

۲-۴-مدل سازی فرآیند خشک کردن

مدل ستیک خشک کردن برگه‌های سیب، براساس نسبت رطوبت (MR) گزارش شد. در این پژوهش، مقدار رطوبت برش‌های میوه را در طول فرآیند خشک کردن، از فرمول (۱) محاسبه شد:

$$MR = \frac{M_t - M_e}{M_0 - M_e} \quad (1)$$

که MR نسبت رطوبت (بدون بعد)، M_t رطوبت در لحظه t (کیلوگرم آب/کیلوگرم ماده جامد)، M_e رطوبت تعادلی (کیلوگرم آب/کیلوگرم ماده جامد) و M_0 رطوبت اولیه (کیلوگرم آب/کیلوگرم ماده جامد) است.

با توجه به اینکه معمولاً مقدار بالای رطوبت اولیه برگه‌های سیب (مقادیر M_e) در مقایسه با M_t و M_0 عدد بسیار کوچکی است. لذا خطای ناشی از عدم محاسبه آن را می‌توان به شکل ساده‌تر خلاصه کرد (فرمول ۲):

$$MR = \frac{M_t}{M_0} \quad (2)$$

در ابتدا ده مدل تجربی مطابق داده‌های آزمایشگاهی برآش شده و با توجه به سه معیار ضریب تعیین (R^2)، مربع کای (χ^2) و ریشه میانگین مربعات خطای (RMSE)، هفت مدل انتخاب شدند (جدول ۱).

مدل‌های ریاضی می‌توان به انواع لگاریتمی، پیچ، میدیلی، تقریب، ورما و غیره اشاره نمود [۱۸]. بسیاری از محققان کاربرد موفقیت آمیز پوشش خوراکی ساخته شده با استفاده از بسیاری از بیوپایرها را برای حفظ خواص غذایی و ارگانولپتیک محصولات غذایی مختلف ثبت کرده‌اند. Mei و همکاران (۲۰۰۲) با کاربرد نشاسته و کیتوزان به عنوان پوشش خوراکی نشان دادند که مقدار pH، مواد جامد محلول، اسیدیته قابل تیتراسیون، فعالیت آنتی‌اکسیدانی، غلظت اسید اسکوربیک و فنلیک کل محتوای موز خشک شده حفظ گردید [۱۹]. بررسی‌ها نشان می‌دهد که استفاده از روش ترکیبی پوشش‌های خوراکی و انرژی مایکروویو سبب سرعت بخشیدن و بهبود فرآیند خشک کردن برش‌های میوه سیب خواهد بود، لذا هدف از این پژوهش بررسی اثر ترکیبی توان مایکروویو و غلظت پوشش خوراکی (ریحان، مرو و کیتوزان) بر میزان تغییرات خصوصیات کیفی برگه‌های سیب در خشک کردن با مایکروویو بود.

۲- مواد و روش‌ها

۲-۱- مواد اولیه

در این پژوهش از سیب با واریته Golden Delicious استفاده شد. دانه‌های ریحان، مرو از بازار محلی شهرستان ساری تهیه و ناخالصی آنها کاملاً جدا گردید. همچنین مواد شیمیابی مورد استفاده در این پژوهش از شرکت‌های سیگما آمریکا و مرک آمان تهیه شد.

۲-۲- تهیه پوشش‌های خوراکی

برای استخراج صمغ دانه‌های ریحان و مرو، ابتدا دانه‌ها به مدت ۲۰ دقیقه و به نسبت ۱ به ۶۵ به آب اضافه و در حمام آب داغ در دمای ۵۰ درجه سانتی‌گراد قرار داده شدند. سپس جهت استخراج صمغ از دانه‌ها، از دستگاه اکستراکتور آزمایشگاهی استفاده شد. صمغ استخراج شده، در آون با دمای ۷۰ درجه سانتی‌گراد خشک و بعد از آسیاب و الک کردن (با مش ۱۸)، در بسته‌بندی عایق به رطوبت تا انجام آزمایش‌های مورد نظر نگهداری شدند. همچنین، برای تهیه پوشش خوراکی کیتوزان غلظت‌های صفر، ۰/۵ و ۱ درصد

Table 1 Drying models used to fit data obtained during microwave drying of apple slices

Model	Equation	References
Midili et al.	$MR = a \exp(-kt^n) + bt$	[23]
Verma et al.	$MR = a \exp(-kt) + (1-a) \exp(-gt)$	[24]
Henderson and Pabis	$MR = a \exp(-kt)$	[25]
Logarithmic	$MR = a \exp(-kt) + c$	[26]
Approximation of diffusion	$MR = a \exp(-kt) + (1-a) \exp(-kbt)$	[27]
Page	$MR = \exp(-kt^n)$	[28]
Newton	$MR = \exp(-kt)$	[29]

سوزنی و با سرعت ۵۰ میلی‌متر بر دقیقه به داخل نمونه محاسبه و بر حسب نیوتون گزارش شد.

مدل‌های مذکور با نسبت رطوبت‌های به دست آمده حاصل از آزمایش‌های مختلف به کمک نرم افزار متلب ۲۰۱۰ برازش داده شد:

$$R^2 = 1 - \left[\frac{\sum_{i=1}^N (MR_{pre,i} - MR_{exp,i})^2}{\sum_{i=1}^N (MR_{pre} - MR_{exp,i})^2} \right] \quad (3)$$

$$\chi^2 = \frac{\sum_{i=1}^N (MR_{exp,i} - MR_{pre,i})^2}{N-m} \quad (4)$$

$$RMSE = \sqrt{\frac{\sum_{i=1}^N (MR_{pre,i} - MR_{exp,i})^2}{N}} \quad (5)$$

که $MR_{exp,i}$ نسبت رطوبت تجربی i ام، $MR_{pre,i}$ نسبت رطوبت پیشگویی شده i ام، N تعداد مشاهدات و m تعداد ثابت‌های خشک‌کردن است.

۴-۲- پردازش تصویر

برای بررسی شاخص‌های رنگی برش‌های سبب خشک‌شده از دستگاه هاترلب استفاده شد و میانگین و میانگین نتایج و شاخص‌های رنگی L^* (شاخص شفافیت-تیرگی)، a^* (شاخص قرمزی-سبزی)، b^* (شاخص زرد-آبی)، شاخص قهوه‌ای شدن (BI) و تغییرات رنگ کلی (ΔE) بدست آمد.

۶-۲- بافت سنجی

تجزیه و تحلیل ویژگی‌های بافتی (سفته، چسبندگی و پیوستگی) با استفاده از دستگاه بافت‌سنج انجام شد. این دستگاه با اعمال فشار بر سطح برش‌های سبب میزان مقاومت را به صورت عدد بر حسب گرم/نیرو نشان می‌دهد. بدین طریق نیروی لازم برای نفوذ یک پروب ۳۶ میلی‌متری با انتهای

متانول تهیه شد، سپس به لوله‌های آزمایش حامل یک میلی‌لیتر

محلول متانولی نمونه با غلظت‌های مختلف (بسته به قدرت

مهار کنندگی رادیکال آزاد)، یک میلی‌لیتر از محلول فوق اضافه

شد. لوله‌های آزمایش بعد از ورتكس شدن به مدت یک ساعت در جای تاریک نگهداری شد و سپس جذب آنها در

طول موج ۵۱۲ نانومتر در برابر شاهد توسط دستگاه اسپکتروفوتومتر قرائت گردید و سپس درصد مهار کنندگی

رادیکال آزاد بر حسب معادله زیر اندازه گیری شد [۳۰].

$$I\% = \left(\frac{A_{sample} - A_{blank}}{A_{sample}} \right) \times 100$$

زمان خشک شدن مربوط به استفاده از بالاترین ترین غلظت بود.

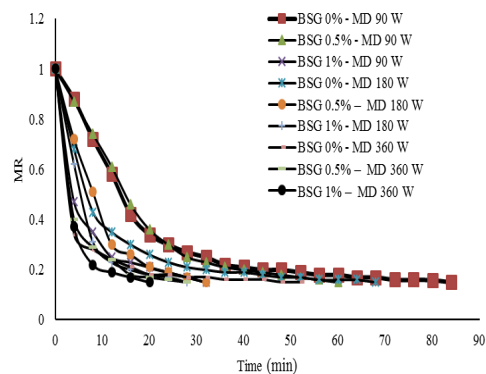


Fig 1 Drying kinetics of apple slices under combined effect of microwave powers and BSG concentrations.

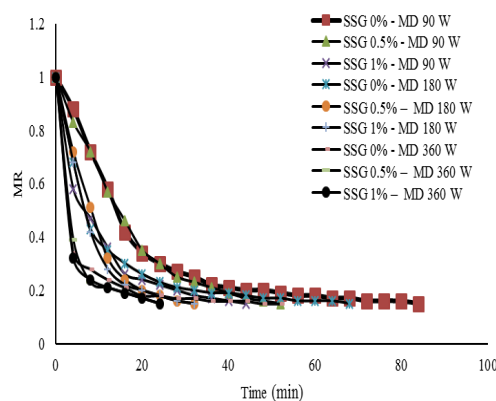


Fig 2 Drying kinetics of apple slices under combined effect of microwave powers and SSG concentrations.

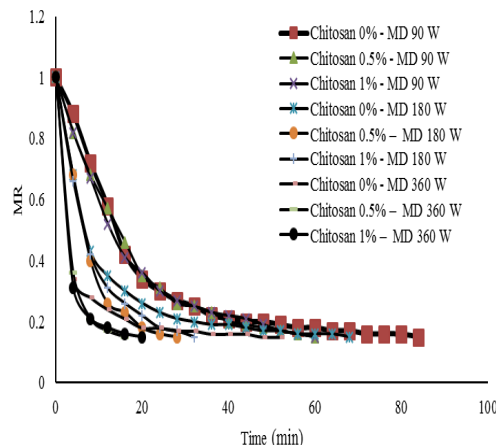


Fig 3 Drying kinetics of apple slices under combined effect of microwave powers and chitosan concentrations.

در این فرمول A_{blank} جذب نوری کترل منفی (فاقد عصاره) را نشان می‌دهد و A_{sample} میزان جذب نوری عصاره را بیان می‌کند.

۸-۲- طرح آماری و آنالیز داده‌ها

تجزیه و تحلیل داده‌ها در قالب طرح کاملاً تصادفی و مقایسه میانگین با استفاده از آزمون دانکن در سطح اطمینان ۹۵ درصد انجام گرفت. مدل‌سازی به کمک نرم افزار MATLAB و مقایسه میانگین با استفاده از نرم افزار SPSS صورت گرفت.

۳- نتایج و بحث

۱-۳- سینتیک خشک کردن و مدل‌سازی

شکل‌های ۱، ۲ و ۳ اثر همزمان توانهای ۹۰، ۱۸۰ و ۳۶۰ وات مایکروویو و غلظت‌های صفر، ۰/۵ و ۱ درصد پوشش‌های خوراکی ریحان، مرو و کیتوزان را بر سرعت خشک کردن برگه‌های سیب نشان می‌دهند. همان‌طور که ملاحظه می‌شود عدم وجود دوره سرعت ثابت خشک شدن، نشان دهنده آن است که فرآیند خشک شدن در محدوده دوره سرعت نزولی رخ داد و در آن تغییر مقدار رطوبت برگه‌های سیب عمدتاً با انتشار صورت گرفت. به عبارتی دیگر، در ابتدای فرآیند خشک شدن مقدار رطوبت محصول اولیه بیشتر بود، اما طی فرآیند خشک کردن و گذشت زمان، محتوای رطوبت کاهش پیدا کرد. شرایط خشک کردن، زمان لازم برای رسیدن به رطوبت نهایی را تعیین کرد به طوری که بالاترین و پایین‌ترین زمان خشک کردن به ترتیب مربوط به نمونه‌های ۹۰ و ۳۶۰ وات بودند. احتمالاً به دلیل رابطه مستقیم سرعت خشک کردن با توان خروجی مایکروویو، با افزایش مایکروویو و در نتیجه افزایش گردایان حرارتی در داخل نمونه، انتقال جرم بیشتر و در نتیجه افزایش سرعت کاهش رطوبت نمونه را به دنبال داشت. به عبارت دیگر، افزایش توان مایکروویو سبب افزایش دما از داخل به سطح ماده در حال خشک شدن گردیده و رطوبت نسبی نمونه را سریع‌تر کاهش داد. بنابراین، رطوبت نمونه در زمان کمتری کاهش پیدا کرد. همچنین، مقایسه زمان خشک شدن برگه‌های سیب در سه غلظت مختلف پوشش‌های خوراکی ریحان، مرو و کیتوزان نشان داد بالاترین زمان مربوط به استفاده از غلظت پایین پوشش‌های خوراکی و پایین‌ترین

شكل تشکیل شده و نفوذپذیری دیوارهای سلولی را کاهش می‌دهد. برای مدل‌سازی و پیش‌بینی سیستیک خشک کردن برگه‌های سیب در ماههای مختلف خشک کردن و غلظت‌های پوشش‌های خوراکی، هفت مدل بر منحنی‌های خشک شدن حاصل از داده‌های تجربی برآش شدند (جدول‌های ۲، ۳ و ۴) و سپس با توجه به مقادیر R^2 ، χ^2 و RMSE معادلات، مناسب‌ترین مدل انتخاب شد.

علاوه بر این، مقدار رطوبت در نمونه‌های پوشش داده شده با غلظت ۱ درصد، پایین بود و نزدیکی بین داده‌های تجربی منحنی‌های خشک شدن در هر سه نوع پوشش خوراکی ریحان، مرو و کیتوزان مشاهده گردید. احتمالاً دلیل این امر آن است که نوع پوشش‌های خوراکی تاثیر کمی بر میزان رطوبت در طول فرآیند خشک کردن داشتند و مقاومت اصلی در برابر انتشار رطوبت بیشتر با ویژگی‌های بافت میوه مرتبط بود. در واقع، اپیدرم میوه دارای کوتیکول‌های است که از مواد مومی

Table 2 Statistical results of different mathematical drying models for apple slices under combined effect of microwave powers and BSG concentrations.

	verma				Approximation of diffusion				Midili				Logarithmic				Page			
	RMSE	χ^2	R^2	RMSE	χ^2	R^2	RMSE	χ^2	R^2	RMSE	χ^2	R^2	RMSE	χ^2	R^2	RMSE	χ^2	R^2		
<i>Basil seed gum coating</i>																				
BSG 0% – MD 90 W	0.0275	0.0143	0.9887	0.0275	0.0143	0.9887	0.0271	0.0133	0.9895	0.0249	0.0118	0.9907	0.0560	0.025	0.9505	0.022	0.0628	0.9778	0.0991	
BSG 0.5% – MD 90 W	0.0273	0.0091	0.9915	0.0273	0.0097	0.9915	0.0168	0.0003	0.9970	0.0284	0.0053	0.9930	0.0907	0.0105	0.9907	0.022	0.0628	0.9778	0.0991	
BSG 1% – MD 90 W	0.0123	0.0024	0.9991	0.0123	0.0005	0.9991	0.0063	0.0001	0.9997	0.0288	0.0058	0.9930	0.0907	0.0106	0.9907	0.022	0.0628	0.9778	0.0991	
BSG 0% – MD 180 W	0.0267	0.0042	0.9971	0.0267	0.0042	0.9971	0.0063	0.0001	0.9997	0.0284	0.0053	0.9930	0.0907	0.0105	0.9907	0.022	0.0628	0.9778	0.0991	
BSG 0.5% – MD 180 W	0.0159	0.0037	0.9993	0.0159	0.0037	0.9993	0.0071	0.0005	0.9997	0.0284	0.0053	0.9930	0.0907	0.0105	0.9907	0.022	0.0628	0.9778	0.0991	
BSG 1% – MD 180 W	0.0090	0.0004	0.9993	0.0090	0.0004	0.9993	0.0038	0.0005	0.9997	0.0284	0.0053	0.9930	0.0907	0.0105	0.9907	0.022	0.0628	0.9778	0.0991	
BSG 0% – MD 360 W	0.0050	0.0004	0.9993	0.0050	0.0004	0.9993	0.0091	0.0001	0.9997	0.0284	0.0053	0.9930	0.0907	0.0105	0.9907	0.022	0.0628	0.9778	0.0991	
BSG 0.5% – MD 360 W	0.0004	0.0004	0.9993	0.0004	0.0004	0.9993	0.0099	0.0001	0.9997	0.0284	0.0053	0.9930	0.0907	0.0105	0.9907	0.022	0.0628	0.9778	0.0991	
BSG 1% – MD 360 W	0.0016	0.0004	0.9993	0.0016	0.0004	0.9993	0.0099	0.0001	0.9997	0.0284	0.0053	0.9930	0.0907	0.0105	0.9907	0.022	0.0628	0.9778	0.0991	

* BSG = Basil seed gum

* MD = Microwave drying

Table 3 Statistical results of different mathematical drying models for apple slices under combined effect of microwave powers and SSG concentrations.

	verma	Approximation of diffusion	Midili	Logarithmic	Page
		RMSE	RMSE	RMSE	
		χ^2	χ^2	χ^2	
<i>Saliva seed gum coating</i>					
SSG 0% – MD 90 W	0.0019	0.0040	0.0159	0.0719	0.0226
SSG 0.5% – MD 90 W	0.0000	0.0000	0.0030	0.0310	0.0030
SSG 1% – MD 90 W	1	0.9999	0.9953	0.9537	0.9957
SSG 0% – MD 180 W	0.0019	0.0040	0.0159	0.0167	0.0226
SSG 0.5% – MD 180 W	0.0000	0.0000	0.0030	0.0016	0.0030
SSG 1% – MD 180 W	1	0.9999	0.9953	0.9975	0.9957
SSG 0% – MD 360 W	0.0019	0.0040	0.0159	0.0167	0.0226
SSG 0.5% – MD 360 W	0.0000	0.0000	0.0030	0.0016	0.0030
SSG 1% – MD 360 W	1	0.9999	0.9953	0.9975	0.9971

* SSG= Saliva seed gum

* MD = Microwave drying

Table 4 Statistical results of different mathematical drying models for apple slices under combined effect of microwave powers and chitosan concentrations.

	verma	Approximation of diffusion	Midili	Logarithmic	Page
		RMSE	RMSE	RMSE	
		χ^2	χ^2	χ^2	
<i>Chitosan coating</i>					
Ch 0% – MD 90 W	0.0050	0.003	0.0159	0.0118	0.0242
Ch 0.5% – MD 90 W	0.0000	0.0000	0.0030	0.0008	0.0029
Ch 1% – MD 90 W	0.9999	1	0.9953	0.9987	0.9951
Ch 0% – MD 180 W	0.0050	0.003	0.0159	0.0118	0.0242
Ch 0.5% – MD 180 W	0.0000	0.0000	0.0030	0.0008	0.0029
Ch 1% – MD 180 W	0.9999	1	0.9953	0.9987	0.9955
Ch 0% – MD 360 W	0.0050	0.003	0.0159	0.0118	0.0242
Ch 0.5% – MD 360 W	0.0000	0.0000	0.0030	0.0008	0.0029
Ch 1% – MD 360 W	0.9999	1	0.9953	0.9987	0.9971

* Ch = Chitosan

* MD = Microwave drying

پوشش‌ها، مقدار روشنایی افزایش ولی مقدار قرمزی، زردی، شاخص قهوهای شدن و تغییرات رنگ کلی کاهش یافت لذا می‌توان گفت پوشش‌های خوراکی اثر محافظت کنندگی در برابر تغییرات رنگ ورقه‌های سبب دارند و باعث کاهش واکنش میلارد و در نتیجه کاهش تراکم رنگدانه‌های قهوهای در سطح نمونه حین فرآیند خشک کردن مایکروویو می‌شوند. فیروزی و همکاران (۱۴۰۱) با بررسی تاثیر پوشش‌های ریحان و کیتوزان بر خشک کردن آون هوای داغ و تحت خلاء برگه‌های سبب گزارش دادند که با افزایش غلظت پوشش در هر یک از دمای‌های مورد بررسی آون (هوای داغ و خلاء)، مقدار L^* روند صعودی به خود گرفت ولی مقدار قرمزی، زردی، قهوهای شدن و تغییر رنگ کلی کاهش یافت لذا وجود پوشش بر روی ورقه‌های سبب می‌تواند به عنوان یک لایه محافظتی در برابر عوامل مخرب (همچون اکسیژن) از انجام واکنش‌های قهوهای شدن جلوگیری نماید [۳۱]. محققین دیگر نیز گزارش کردند که پوشش‌های خوراکی به عنوان یک عامل حفاظتی در طی فرآیند خشک‌کردن عمل می‌کنند و سبب افزایش مولفه شفافیت و کاهش قهوهای شدن میلارد می‌شوند [۲۶، ۲۷ و ۲۸] و Salehi [۲۰۱۷] و Kashaninejad [۲۰۱۷] با بررسی اثر روش‌های مختلف خشک کردن (آون هوای داغ با دمای ۴۰ تا ۸۰ درجه سانتی‌گراد، انجمادی و آون خلاء) بر خواص رئولوژیکی، بافتی و تغییرات رنگ صمغ دانه ریحان، نشان دادند میزان تغییرات کلی رنگ و روشنایی صمغ دانه ریحان با افزایش دما، کاهش پیدا کرد [۳۲]. همچنین، Satorabi و همکاران (۲۰۲۱) قبل از خشک‌کردن برگه‌های زردآلور در سیستم فروسرخ، برگه‌ها را با صمغ‌های گراناتان و دانه بالنگو (با غلظت ۰/۶ درصد) پوشش‌دهی کردند. این محققان گزارش دادند برگه‌های خشک‌شده زرد آلور پوشش داده شده روش‌تر بوده و نمونه‌های پوشش داده شده مؤلفه روشنایی بالاتری داشتند. علاوه بر این، مؤلفه روشنایی محاسبه شده برای نمونه‌های شاهد، پوشش داده شده با صمغ گراناتان و دانه بالنگو به ترتیب برابر ۴۴/۷، ۴۸/۷ و ۵۳/۲ بوده است [۳۳].

نتایج حاصل براساس مقادیر بیشتر R^2 و مقادیر کمتر λ^2 و RMSE نشان داد برای پوشش ریحان مدل میدیلی و همکاران، برای پوشش مرو مدل تقریب نفوذ و برای پوشش کیتوزان مدل میدیلی و همکاران دارای بیشترین دقت مدل‌سازی بودند و به خوبی تغییرات محتوای رطوبتی را پیش‌بینی کردند. به طور کلی، از آنجایی که مکانیزم خشک شدن با امواج مایکروویو از داخل به سطح نمونه است، به نظر می‌رسد که با به کارگیری این روش، علاوه بر صرفه جویی در زمان و انرژی، محصول نهایی خشک‌شده کیفیت ظاهری بهتری داشته باشد. فیروزی و همکاران (۱۴۰۱) در بررسی پوشش‌های ریحان و کیتوزان بر خشک کردن آون هوای داغ و تحت خلاء برگه‌های سبب به این نتیجه رسیدند که مدل میدیلی برای پوشش‌های صمغ ریحان و مدل تقریب نفوذ برای پوشش‌های با ماده کیتوزان با دقت بیشتری نسبت به سایر مدل‌ها، فرآیند خشک‌شدن ورقه‌های سبب را پیش‌بینی کردند [۳۱].

۲-۳- رنگ

پوشش خوراکی و فرآیند خشک‌کردن معمولاً سبب تغییر رنگ در سطح میوه می‌شوند. اثر پوشش‌های ریحان، مرو و کیتوزان در سه غلظت صفر، ۰/۵ و ۱ درصد در توان‌های مختلف مایکروویو ۹۰، ۱۸۰ و ۳۶۰ وات بر ویژگی‌های رنگی برگه‌های سبب خشک‌شده در جدول‌های ۶ و ۷ نشان داده شده است. برگه‌های سبب بدون پوشش در ۳۶۰ وات بیشترین مقدار قرمزی (a^*)، زردی (b^*)، شاخص قهوهای شدن (BI) و تغییرات رنگ کلی (ΔE) و کمترین روشنایی (L^*) را داشتند و از طرف دیگر، نمونه‌های پوشش‌دار ۱ درصد در ۹۰ وات، کمترین مقدار قرمزی، زردی، شاخص قهوهای شدن و تغییرات رنگ کلی و بیشترین روشنایی را به خود اختصاص دادند. به طور کلی وقتی توان مایکروویو افزایش یافت، مقدار قرمزی، زردی، شاخص قهوهای شدن و تغییرات رنگ کلی روند صعودی به خود گرفت ولی روشنایی کاهش یافت لذا می‌توان نتیجه گرفت که مایکروویو باعث افزایش واکنش‌های قهوهای شدن میلارد در برگه‌های سبب شد. با افزایش غلظت

Table 5 Color changes of dried apple slices under combined effect of microwave powers and BSG concentrations.

Basil seed gum coating	L*	a*	b*	BI	ΔE
BSG 0% – MD 90 W	78.42±1.09 ^d	4.25±1.20 ^{ab}	43.58±0.79 ^c	82.00±0.97 ^c	5.12±0.82 ^c
BSG 0.5% – MD 90 W	80.89±0.74 ^b	2.90±0.77 ^c	29.33±0.31 ^e	46.38±0.69 ^h	4.02±0.63 ^d
BSG 1% – MD 90 W	81.59±0.48 ^a	2.69±0.31 ^c	28.14±0.62 ^f	44.24±0.47 ⁱ	3.15±0.50 ^d
BSG 0% – MD 180 W	75.39±1.32 ^d	5.25±0.90 ^a	45.72±0.81 ^b	92.94±1.40 ^b	6.25±1.20 ^b
BSG 0.5% – MD 180 W	78.49±0.54 ^d	3.10±0.42 ^b	29.39±0.79 ^e	53.79±0.71 ^e	5.02±0.37 ^c
BSG 1% – MD 180 W	79.14±0.31 ^c	2.90±0.37 ^c	29.24±0.63 ^e	48.59±0.48 ^g	3.62±0.61 ^d
BSG 0% – MD 360 W	73.12±1.12 ^g	5.95±0.82 ^a	46.12±0.86 ^a	99.17±1.07 ^a	7.11±1.40 ^a
BSG 0.5% – MD 360 W	74.18±0.59 ^f	3.40±0.68 ^{ab}	30.38±0.65 ^d	55.19±0.69 ^d	5.18±0.77 ^c
BSG 1% – MD 360 W	75.98±0.33 ^e	3.20±0.40 ^{ab}	30.17±0.01 ^d	50.30±0.74 ^f	3.82±0.81 ^d

* BSG = Basil seed gum

* MD = Microwave drying

Table 6 Color changes of dried apple slices under combined effect of microwave powers and SSG concentrations.

Saliva seed gum coating	L*	a*	b*	BI	ΔE
SSG 0% – MD 90 W	78.42±1.09 ^b	4.25±1.20 ^{ab}	43.58±0.79 ^b	82.00±0.97 ^c	5.12±0.82 ^c
SSG 0.5% – MD 90 W	79.72±0.41 ^{ab}	3.10±0.42 ^b	30.20±0.41 ^c	50.89±0.96 ^g	4.18±0.35 ^d
SSG 1% – MD 90 W	80.63±0.23 ^a	2.50±0.17 ^c	29.52±0.72 ^d	46.26±0.52 ^h	3.42±0.42 ^e
SSG 0% – MD 180 W	75.39±1.32 ^d	5.25±0.90 ^a	45.72±0.81 ^a	92.94±1.40 ^b	6.25±1.20 ^b
SSG 0.5% – MD 180 W	76.59±0.42 ^c	3.50±0.61 ^{ab}	30.63±0.61 ^c	54.50±0.64 ^e	5.12±0.79 ^c
SSG 1% – MD 180 W	78.81±0.21 ^b	3.20±0.22 ^{ab}	29.82±0.52 ^d	50.32±0.59 ^g	3.89±0.33 ^e
SSG 0% – MD 360 W	73.12±1.12 ^f	5.95±0.82 ^a	46.12±0.86 ^a	99.17±1.07 ^a	7.11±1.14 ^a
SSG 0.5% – MD 360 W	73.96±0.61 ^f	3.80±0.71 ^{ab}	30.53±0.71 ^c	56.60±0.67 ^d	5.25±0.65 ^c
SSG 1% – MD 360 W	74.52±0.33 ^e	3.50±0.31 ^{ab}	30.31±0.35 ^c	52.49±0.40 ^f	4.10±0.47 ^d

* SSG= Saliva seed gum

*MD = Microwave drying

Table 7 Color changes of dried apple slices under combined effect of microwave powers and chitosan concentrations.

Chitosan coating	L*	a*	b*	BI	ΔE
Ch 0% – MD 90 W	78.42±1.09 ^b	4.25±1.20 ^b	43.58±0.79 ^c	82.00±0.97 ^c	5.12±0.82 ^c
Ch 0.5% – MD 90 W	78.58±0.42 ^b	3.60±0.38 ^c	31.59±0.59 ^e	51.01±0.65 ^h	5.02±0.41 ^c
Ch 1% – MD 90 W	79.83±0.37 ^a	3.42±0.50 ^c	30.62±0.42 ^f	50.67±1.12 ⁱ	4.42±0.58 ^d
Ch 0% – MD 180 W	75.39±1.32 ^d	5.25±0.90 ^a	45.72±0.81 ^b	92.94±1.40 ^b	6.25±1.20 ^b
Ch 0.5% – MD 180 W	76.13±0.67 ^c	3.90±0.21 ^c	32.19±0.49 ^d	55.68±0.49 ^f	5.10±1.61 ^c
Ch 1% – MD 180 W	78.64±0.17 ^b	3.80±0.30 ^c	31.18±0.32 ^e	52.74±0.68 ^g	4.64±0.83 ^d
Ch 0% – MD 360 W	73.12±1.12 ^f	5.95±0.82 ^a	46.12±0.86 ^a	99.17±1.07 ^a	7.11±1.14 ^a
Ch 0.5% – MD 360 W	73.61±0.25 ^f	4.75±0.59 ^b	32.50±0.61 ^d	68.37±0.43 ^d	5.50±0.59 ^c
Ch 1% – MD 360 W	77.08±0.10 ^c	4.32±0.71 ^b	31.65±0.50 ^e	63.88±0.64 ^e	4.92±0.81 ^c

* Ch = Chitosan

*MD = Microwave drying

می شود برگهای سیب حشک شده با ۱ درصد پوشش در ۹۰
وات مایکروویو کمترین سفتی و بیشترین چسبندگی و
پیوستگی را داشتند و این در حالی است که نمونه های خشک
شده بدون پوشش در ۳۶۰ وات مایکروویو بیشترین سفتی و
کمترین چسبندگی و پیوستگی مشاهده شد. نتایج نشان داد که
با افزایش توان مایکروویو (در سطوح غلظتی مشابه پوشش)،
مقدار سفتی روند صعودی ولی چسبندگی و پیوستگی روند
نزولی داشت. از طرف دیگر با با افزایش غلظت هر یک از
پوشش های ریحان، مرو و کیتوزان در توان های یکسان، مقدار

۳-۳- بافت

خصوصیات بافتی همچون سفتی، چسبندگی و پیوستگی از
ویژگی های مکانیکی نمونه است. اثر پوشش های خوراکی
ریحان، مرو و کیتوزان در غلظت های صفر، ۰/۵ و ۱ درصد و
توان های ۹۰، ۱۸۰ و ۳۶۰ وات مایکروویو بر میزان ویژگی های
بافتی برگهای سیب در جدول های ۹ و ۱۰ نشان داده شده
است. پوشش های خوراکی با افزایش توان مایکروویو، اثرات
مهمی در برابر میزان سفتی، چسبندگی و پیوستگی برگهای
خشک شده سیب داشتند ($P < 0/05$). همانطور که ملاحظه

به طور معمول با افزایش توانهای مایکروویو افزایش می یابد [۳۴]. همچنین، براساس پژوهش Ogawa (۱۹۹۱) پوشش‌های خوارکی، ویژگی‌های مکانیکی بالاتری از خود نشان می‌دهند و دارای مقاومت کششی بالاتری هستند و مقاومت مکانیکی پوشش‌های خوارکی نیز به روش تهیه و درصد غلظت آنها بستگی دارد [۳۶]. به طور کلی در این پژوهش، ویژگی‌های بافتی حاصل از پوشش‌های متفاوت در توانهای مختلف مایکروویو، تقریباً نزدیک به هم بوده است.

سفته کاهش و مقدار چسبندگی و پیوستگی افزایش یافت. فیروزی و همکاران (۱۴۰۱) با بررسی تاثیر پوشش‌های ریحان و کیتوزان بر خشک کردن آون هوای داغ و تحت خلاء برگه‌های سیب گزارش دادند با افزایش غلظت هر یک از پوشش‌های ریحان و کیتوزان در دماهای یکسان، مقدار سفتی کاهش و مقدار چسبندگی و پیوستگی افزایش یافت و این روند در هر یک از روش‌های خشک کردن آون هوای داغ و خلاء مشاهده شد [۳۱]. Marikani و Rajendran (۲۰۰۴) بیان کردند که مقاومت نمونه‌های پوشش داده شده

Table 8 Textural properties of dried apple slices under combined effect of microwave powers and BSG concentrations.

Basil seed gum coating	Hardness	Adhesiveness	Cohesiveness
BSG 0% – MD 90 W	95.47±1.42 ^c	190.42±1.03 ^e	118.35±1.14 ^e
BSG 0.5% – MD 90 W	72.43±0.61 ^{de}	238.19±0.74 ^b	149.24±1.27 ^b
BSG 1% – MD 90 W	70.92±0.42 ^e	240.61±0.29 ^a	151.27±0.42 ^a
BSG 0% – MD 180 W	101.36±1.17 ^b	183.27±0.72 ^f	107.72±0.93 ^f
BSG 0.5% – MD 180 W	75.62±0.69 ^c	234.18±0.63 ^c	145.42±0.88 ^c
BSG 1% – MD 180 W	73.15±0.43 ^d	237.59±0.33 ^b	149.47±0.65 ^b
BSG 0% – MD 360 W	112.73±1.62 ^a	177.82±1.14 ^g	100.45±0.97 ^g
BSG 0.5% – MD 360 W	79.47±1.12 ^b	230.72±0.75 ^d	140.81±0.78 ^d
BSG 1% – MD 360 W	76.17±0.82 ^c	233.27±0.42 ^e	144.72±1.11 ^c

* BSG = Basil seed gum

* MD = Microwave drying

Table 9 Textural properties of dried apple slices under combined effect of microwave powers and SSG concentrations.

Saliva seed gum coating	Hardness	Adhesiveness	Cohesiveness
SSG 0% – MD 90 W	95.47±1.42 ^c	190.42±1.03 ^f	118.35±1.14 ^f
SSG 0.5% – MD 90 W	74.12±0.39 ^f	234.15±0.79 ^{bc}	146.34±0.62 ^b
SSG 1% – MD 90 W	72.28±0.51 ^g	237.72±0.83 ^a	149.61±0.39 ^a
SSG 0% – MD 180 W	101.36±1.17 ^b	183.27±0.72 ^g	107.72±0.93 ^g
SSG 0.5% – MD 180 W	76.49±0.26 ^e	231.61±0.75 ^d	143.72±1.12 ^c
SSG 1% – MD 180 W	74.91±0.47 ^f	235.17±0.69 ^b	147.40±0.43 ^b
SSG 0% – MD 360 W	112.73±1.62 ^a	177.82±1.14 ^h	100.45±0.97 ^h
SSG 0.5% – MD 360 W	81.25±0.59 ^d	229.18±0.52 ^e	138.12±0.69 ^e
SSG 1% – MD 360 W	78.73±0.38 ^e	23.42±0.49 ^c	141.87±0.54 ^d

* SSG= Saliva seed gum

* MD = Microwave drying

Table 10 Textural properties of dried apple slices under combined effect of microwave powers and chitosan concentrations.

Chitosan coating	Hardness	Adhesiveness	Cohesiveness
Ch 0% – MD 90 W	95.47±1.42 ^c	190.42±1.03 ^f	118.35±1.14 ^e
Ch 0.5% – MD 90 W	75.36±0.29 ^f	229.52±0.52 ^{bc}	142.39±0.71 ^b
Ch 1% – MD 90 W	73.69±0.71 ^g	233.43±1.04 ^a	146.76±0.43 ^a
Ch 0% – MD 180 W	101.36±1.17 ^b	183.27±0.72 ^g	107.72±0.93 ^f
Ch 0.5% – MD 180 W	78.67±0.42 ^e	226.67±0.63 ^d	138.82±0.51 ^c
Ch 1% – MD 180 W	75.86±0.54 ^f	230.31±0.52 ^b	142.25±0.37 ^b
Ch 0% – MD 360 W	112.73±1.62 ^a	177.82±1.14 ^h	100.45±0.97 ^g
Ch 0.5% – MD 360 W	82.62±1.07 ^d	224.69±0.81 ^e	135.37±0.39 ^d
Ch 1% – MD 360 W	79.95±0.48 ^e	228.07±0.32 ^c	138.79±0.74 ^c

* Ch = Chitosan

* MD = Microwave drying

۳-۴- فعالیت آنتیاکسیدانی

می‌توان به خاصیت آنتیاکسیدانی خود پوشش‌ها و همچنین توانایی بالای آنها در جلوگیری از واکنش میلارد (در هنگام خشک کردن) نسبت داد. فیروزی و همکاران (۱۴۰۱) بیان کردند که پوشش‌های خوراکی ریحان و کیتوزان باعث افزایش خصوصیات آنتیاکسیدانی در خشک کردن برگ‌های سیب با آون هوای داغ و آون خلاء می‌شوند [۳۱]. Oliveira و Silva (۲۰۱۷) کاربرد سه پوشش خوراکی مختلف شامل پکتین (با و بدون گلیسرول) و ایزوله پروتئین سویا به عنوان پیش‌تیمار خشک کردن و تاثیر آنها بر سیستم انتقال جرم، حفظ ویتامین C و حفظ رنگ در طول فرآیند را ارزیابی کردند. نتایج این دو محقق حاکی از آن بود که پوشش‌های خوراکی (پکتین و ایزوله پروتئینی) ترکیبات آنتیاکسیدانی در برگ‌های کیوی را به میزان بیشتری حفظ می‌کنند [۳۶].

در جدول‌های ۱۱، ۱۲ و ۱۳ نتایج اثر پوشش‌های خوراکی و فرآیند خشک کردن با مایکروویو بر روند تغییرات فعالیت آنتیاکسیدانی توسط روش‌های مهار رادیکال آزاد DPPH برگ‌های سیب خشک شده مشاهده می‌گردد. به طور کلی با افزایش توان مایکروویو در غلظت‌های پوشش‌دهی شده یکسان، میزان مهار رادیکال آزاد DPPH کاهش یافت که نشان دهنده از بین رفتن ترکیبات آنتیاکسیدانی در اثر افزایش اکسیداسیون در حین فرآیند خشک کردن مایکروویو است و این در حالی می‌باشد که Ozcan-Sinir و همکاران (۲۰۱۸) گزارش دادند که خشک کردن باعث افزایش ترکیبات فنولی و خصوصیات آنتیاکسیدانی در کامکوات می‌گردد [۳۵]. با افزایش غلظت پوشش‌های خوراکی (ريحان، مرو و کیتوزان)، میزان فعالیت آنتیاکسیدانی افزایش یافت که علت این امر را

Table 11 Antioxidant activity of dried apple slices under combined effect of microwave powers and BSG concentrations.

Basil seed gum coating	500 ppm	1000 ppm	2000 ppm	4000 ppm	8000 ppm
BSG 0% – MD 90 W	10.21±0.31 ^{Ed}	12.93±0.25 ^{Df}	22.41±0.37 ^{cf}	33.18±0.30 ^{Bg}	38.62±0.49 ^{Ag}
BSG 0.5% – MD 90 W	11.98±0.26 ^{Ec}	22.46±0.39 ^{Dc}	27.16±0.41 ^{Cc}	50.21±0.54 ^{Bb}	59.17±0.71 ^{Ab}
BSG 1% – MD 90 W	15.37±0.47 ^{Ea}	25.18±0.42 ^{Da}	30.73±0.29 ^{Ca}	54.16±0.62 ^{Ba}	64.17±0.72 ^{Aa}
BSG 0% – MD 180 W	9.34±0.34 ^{Fe}	11.98±0.21 ^{Dg}	20.12±0.38 ^{Cg}	29.53±0.43 ^{Bh}	35.24±0.36 ^{Ah}
BSG 0.5% – MD 180 W	11.45±0.38 ^{Ec}	21.51±0.43 ^{Dd}	24.91±0.5 ^{Ce}	45.37±0.32 ^{Be}	19.54±0.34 ^{Ae}
BSG 1% – MD 180 W	14.73±0.52 ^{Eb}	24.32±0.39 ^{Dh}	28.62±0.54 ^{Cb}	49.81±0.67 ^{Bc}	58.27±0.51 ^{Ac}
BSG 0% – MD 360 W	8.25±0.19 ^{Ff}	11.36±0.12 ^{Eg}	18.62±0.24 ^{Ch}	27.19±0.36 ^{Bi}	32.16±0.42 ^{Ai}
BSG 0.5% – MD 360 W	11.16±0.22 ^{Ec}	19.49±0.17 ^{De}	22.42±0.33 ^{Cf}	42.64±0.41 ^{Bf}	51.72±0.35 ^{Af}
BSG 1% – MD 360 W	14.39±0.42 ^{Eb}	22.81±0.36 ^{Dc}	25.87±0.27 ^{Cd}	46.35±0.43 ^{Bd}	55.26±0.72 ^{Ad}

* Means within a row with the same uppercase letters are not significantly different at P>0.05.

* Means within a column with the same lowercase letters are not significantly different at P>0.05.

* BSG = Basil seed gum

* MD = Microwave drying

Table 12 Antioxidant activity of dried apple slices under combined effect of microwave powers and SSG concentrations.

Saliva seed gum coating	500 ppm	1000 ppm	2000 ppm	4000 ppm	8000 ppm
SSG 0% – MD 90 W	10.21±0.31 ^{Ed}	12.93±0.25 ^{Df}	22.41±0.37 ^{Cf}	33.18±0.30 ^{Bg}	38.62±0.49 ^{Ag}
SSG 0.5% – MD 90 W	11.42±0.21 ^{Ec}	22.12±0.21 ^{Dc}	26.82±0.49 ^{Cc}	49.12±0.52 ^{Bb}	57.16±0.78 ^{Ab}
SSG 1% – MD 90 W	14.92±0.47 ^{Ea}	24.62±0.52 ^{Da}	29.42±0.37 ^{Ca}	53.73±0.67 ^{Ba}	61.00±0.63 ^{Aa}
SSG 0% – MD 180 W	9.34±0.34 ^{Fe}	11.98±0.21 ^{Dg}	20.12±0.38 ^{Ch}	29.53±0.43 ^{Bh}	35.24±0.36 ^{Ah}
SSG 0.5% – MD 180 W	11.12±0.17 ^{Ec}	21.02±0.35 ^{Dd}	24.14±0.30 ^{Ce}	43.92±0.51 ^{Be}	52.26±0.54 ^{Ae}
SSG 1% – MD 180 W	14.20±0.52 ^{Ea}	23.94±0.31 ^{Db}	27.91±0.36 ^{Cb}	47.62±0.44 ^{Bc}	55.14±0.43 ^{Ac}
SSG 0% – MD 360 W	8.25±0.19 ^{Ff}	11.36±0.12 ^{Eg}	18.62±0.24 ^{Ci}	27.19±0.36 ^{Bi}	32.16±0.42 ^{Ai}
SSG 0.5% – MD 360 W	10.92±0.24 ^{Ed}	18.81±0.25 ^{De}	21.90±0.19 ^{Cg}	41.17±0.42 ^{Bf}	49.32±0.44 ^{Af}
SSG 1% – MD 360 W	13.84±0.34 ^{Eb}	22.24±0.40 ^{Dc}	25.14±0.47 ^{Cd}	44.98±0.63 ^{Bd}	53.42±0.57 ^{Ad}

* Means within a row with the same uppercase letters are not significantly different at P>0.05.

* Means within a column with the same lowercase letters are not significantly different at P>0.05.

* SSG = Saliva seed gum

* MD = Microwave drying

Table 13 Antioxidant activity of dried apple slices under combined effect of microwave powers and chitosan concentrations.

Chitosan coating	500 ppm	1000 ppm	2000 ppm	4000 ppm	8000 ppm
Ch 0% – MD 90 W	10.21±0.31 ^{Ec}	12.93±0.25 ^{Df}	22.41±0.37 ^{Cd}	33.18±0.30 ^{Bg}	38.62±0.49 ^{Ag}
Ch 0.5% – MD 90 W	10.92±0.21 ^{Ec}	19.92±0.27 ^{Dc}	24.61±0.35 ^{Cc}	48.24±0.38 ^{Bb}	56.27±0.42 ^{Ab}
Ch 1% – MD 90 W	13.72±0.45 ^{Ea}	22.82±0.31 ^{Da}	28.17±0.42 ^{Ca}	51.62±0.4 ^{Ba}	60.41±0.47 ^{Aa}
Ch 0% – MD 180 W	9.34±0.34 ^{Fd}	11.98±0.21 ^{Dg}	20.12±0.38 ^{Ce}	29.53±0.43 ^{Bh}	35.24±0.36 ^{Ah}
Ch 0.5% – MD 180 W	10.61±0.27 ^{Ec}	18.12±0.19 ^{Dd}	22.75±0.21 ^{Cd}	42.19±0.44 ^{Be}	51.52±0.37 ^{Ae}
Ch 1% – MD 180 W	13.25±0.36 ^{Ea}	20.72±0.22 ^{Db}	25.91±0.3 ^{Cb}	47.25±0.39 ^{Bc}	54.12±0.49 ^{Ac}
Ch 0% – MD 360 W	8.25±0.19 ^{Fe}	11.36±0.12 ^{Eg}	18.62±0.24 ^{Cg}	27.19±0.36 ^{Bi}	32.16±0.42 ^{Ai}
Ch 0.5% – MD 360 W	9.81±0.24 ^{Ed}	15.83±0.33 ^{De}	19.61±0.16 ^{Cf}	39.71±0.34 ^{Bf}	47.64±0.43 ^{Af}
Ch 1% – MD 360 W	12.91±0.17 ^{Eb}	18.74±0.24 ^{Dd}	22.54±0.32 ^{Cd}	43.51±0.45 ^{Bd}	52.61±0.36 ^{Ad}

* Means within a row with the same uppercase letters are not significantly different at P>0.05.

* Means within a column with the same lowercase letters are not significantly different at P>0.05.

* Ch = Chitosan

* MD = Microwave drying

hot-air dried-apple slices. *Heat and Mass Transfer*, 56(11), 3047-3057.

- [3] Atungulu, G., Nishiyama, Y., & Koide, S. (2004). Electrode configuration and polarity effects on physicochemical properties of electric field treated apples post harvest. *Biosystems engineering*, 87(3), 313-323.
- [4] Cuccurullo, G., Metallo, A., Corona, O., & Cinquanta, L. (2019). Comparing different processing methods in apple slice drying. Part 1. Performance of microwave, hot air and hybrid methods at constant temperatures. *Biosystems Engineering*, 188, 331-344.
- [5] Rajoriya, D., Shewale, S. R., Bhavya, M. L., & Hebbar, H. U. (2020). Far infrared assisted refractance window drying of apple slices: Comparative study on flavour, nutrient retention and drying characteristics. *Innovative Food Science & Emerging Technologies*, 66, 102530.
- [6] Cuccurullo, G., Giordano, L., Metallo, A., & Cinquanta, L. (2018). Drying rate control in microwave assisted processing of sliced apples. *Biosystems Engineering*, 170, 24-30.
- [7] Chandran, T. T., Mini, C., & Anith, K. N. (2021). Quality evaluation of edible film coated tomato (*Solanum lycopersicum*) fruits. *Journal of Tropical Agriculture*, 58(2).
- [8] Kaur, K., & Singh, A. K. (2014). Drying kinetics and quality characteristics of beetroot slices under hot air followed by microwave finish drying. *African Journal of Agricultural Research*, 9(12), 1036-1044.
- [9] Maskan, M. (2000). Microwave/air and microwave finish drying of banana. *Journal of food engineering*, 44(2), 71-78.

۴- نتیجه گیری

در این تحقیق، اثر همزمان توان مایکروویو (۹۰ و ۱۸۰ وات) و غلظت (صفر، ۰/۵ و ۱ درصد) پوشش‌های خواراکی ریحان، مرو و کیتوزان بر سیستمیک خشک کردن، رنگ، بافت و خصوصیات آنتی‌اکسیدانی برش‌های سبب خشک شده مورد بررسی قرار گرفت. نتایج نشان داد که برای پوشش ریحان، مرو و کیتوزان به ترتیب مدل‌های میدیلی و همکاران، تقریب RMSE نفوذ و میدیلی و همکاران دارای R^2 بیشتر و χ^2 و کمتر بودند لذا به خوبی خروج رطوبت از برش‌های سبب را طی فرآیند خشک کردن مایکروویو توجیه کردند. با کاهش توان مایکروویو و یا افزایش غلظت پوشش خواراکی مقدار فرمزی، زردی، شاخص قهوه‌ای شدن، تغییرات رنگ کلی، سفتی روند نزولی به خود گرفت ولی روشنایی، چسبندگی، پیوستگی و فعالیت آنتی‌اکسیدانی افزایش یافت لذا می‌توان نتیجه گرفت که مایکروویو باعث افزایش واکنش‌های قهوه‌ای شدن میلارد در برگه‌های سبب شد و غلظت بیشتر پوشش‌های خواراکی اثر محافظت کنندگی در برابر تغییرات رنگ و رفتهای سبب داشت و باعث کاهش واکنش میلارد حین فرآیند خشک کردن گردید.

۵- منابع

- [1] Agricultural statistics. (2021). Garden products (3 ed). Ministry of Agriculture Jihad, Deputy of planning and economics “<https://www.maj.ir>”.
- [2] Tepe, T. K., & Tepe, B. (2020). The comparison of drying and rehydration characteristics of intermittent-microwave and

- and experimental methodology. *Food and Bioproducts Processing*, 96, 314-325.
- [19] Mei, Y., Zhao, Y., Yang, J., & Furr, H. C. (2002). Using edible coating to enhance nutritional and sensory qualities of baby carrots. *Journal of Food Science*, 67(5), 1964-1968.
- [20] Zeynali, M., Naji-Tabasi, S., & Farahmandfar, R. (2019). Investigation of basil (*Ocimum basilicum L.*) seed gum properties as cryoprotectant for frozen foods. *Food Hydrocolloids*, 90, 305-312.
- [21] Farahmandfar, R., Asnaashari, M., Taheri, A., & Rad, T. K. (2019). Flow behavior, viscoelastic, textural and foaming characterization of whipped cream: Influence of *Lallemantia royleana* seed, *Salvia macrosiphon* seed and carrageenan gums. *International journal of biological macromolecules*, 121, 609-615.
- [22] Badawy, M. E., Rabea, E. I., AM El-Nouby, M., Ismail, R. I., & Taktak, N. E. (2017). Strawberry shelf life, composition, and enzymes activity in response to edible chitosan coatings. *International Journal of Fruit Science*, 17(2), 117-136.
- [23] Midilli, A.D.N.A.N., Kucuk, H.A.Y.D.A.R., & Yapar, Z.I.Y.A. (2002). A new model for single-layer drying. *Drying technology*, 20(7), 1503-1513.
- [24] Verma, L. R., Bucklin, R. A., Endan, J. B., & Wratten, F. T. (1985). Effects of drying air parameters on rice drying models. *Transactions of the ASAE*, 28(1), 296-0301.
- [25] Chhinnan, M. S. (1984). Evaluation of selected mathematical models for describing thin-layer drying of in-shell pecans. *Transactions of the ASAE*, 27(2), 610-0615.
- [26] Dandamrongrak, R., Young, G., & Mason, R. (2002). Evaluation of various pre-treatments for the dehydration of banana and selection of suitable drying models. *Journal of Food Engineering*, 55(2), 139-146.
- [27] Ertekin, C., & Yaldiz, O. (2004). Drying of eggplant and selection of a suitable thin layer drying model. *Journal of food engineering*, 63(3), 349-359.
- [28] Simal, S., Femenia, A., Garau, M. C., & Rosselló, C. (2005). Use of exponential, Page's and diffusional models to simulate the drying kinetics of kiwi fruit. *Journal of food engineering*, 66(3), 323-328.
- [29] Ayensu, A. (1997). Dehydration of food crops using a solar dryer with convective heat flow. *Solar energy*, 59(4-6), 121-126.
- [10] Zarein, M., Samadi, S. H., & Ghobadian, B. (2015). Investigation of microwave dryer effect on energy efficiency during drying of apple slices. *Journal of the Saudi Society of Agricultural Sciences*, 14(1), 41-47.
- [11] Pruksarojanakul, P., Prakitchaiwattana, C., Settachaimongkon, S., & Borompichaichartkul, C. (2020). Synbiotic edible film from konjac glucomannan composed of *Lactobacillus casei*-01® and Orafti® GR, and its application as coating on bread buns. *Journal of the Science of Food and Agriculture*, 100(6), 2610-2617.
- [12] Suhag, R., Kumar, N., Petkoska, A. T., & Upadhyay, A. (2020). Film formation and deposition methods of edible coating on food products: A review. *Food Research International*, 136, 109582.
- [13] Pavinatto, A., de Almeida Mattos, A. V., Malpass, A. C. G., Okura, M. H., Balogh, D. T., & Sanfelice, R. C. (2020). Coating with chitosan-based edible films for mechanical/biological protection of strawberries. *International journal of biological macromolecules*, 151, 1004-1011.
- [14] Pak, E. S., Ghaghelestani, S. N., & Najafi, M. A. (2020). Preparation and characterization of a new edible film based on Persian gum with glycerol plasticizer. *Journal of Food Science and Technology*, 57(9), 3284-3294.
- [15] Hosseini-Parvar, S. H., Matia-Merino, L., Goh, K. K. T., Razavi, S. M. A., & Mortazavi, S. A. (2010). Steady shear flow behavior of gum extracted from *Ocimum basilicum L.* seed: Effect of concentration and temperature. *Journal of food engineering*, 101(3), 236-243.
- [16] Razavi, S. M. A., Cui, S. W., Guo, Q., & Ding, H. (2014). Some physicochemical properties of sage (*Salvia macrosiphon*) seed gum. *Food Hydrocolloids*, 35, 453-462.
- [17] Bautista-Baños, S., Hernandez-Lauzardo, A. N., Velazquez-Del Valle, M. G., Hernández-López, M., Barka, E. A., Bosquez-Molina, E., & Wilson, C. L. (2006). Chitosan as a potential natural compound to control pre and postharvest diseases of horticultural commodities. *Crop protection*, 25(2), 108-118.
- [18] Zhu, H., Gulati, T., Datta, A. K., & Huang, K. (2015). Microwave drying of spheres: Coupled electromagnetics-multiphase transport modeling with experimentation. Part I: Model development

- and surface changes of apricot slices during drying in infrared system. *Food Science and Technology*, 18(112), 21-30.
- [34] Rajendran, V.; Marikani, A. Materials Science; Tata McGraw-Hill: New Delhi, 2004.
- [35] Ozcan-Sinir, G., Ozkan-Karabacak, A., Tamer, C. E., & Copur, O. U. (2018). The effect of hot air, vacuum and microwave drying on drying characteristics, rehydration capacity, color, total phenolic content and antioxidant capacity of Kumquat (*Citrus japonica*). *Food Science and Technology*, 39, 475-484.
- [36] Oliveira, D., & Silva, K. D. S. (2017). Effect of protein and polysaccharide-based edible coatings on quality of kiwifruit (*Actinidia deliciosa*) during drying. *International Journal of Food Engineering*, 13(12).
- [30] Farahmandfar, R., Asnaashari, M., & Sayyad, R. (2017). Antioxidant activity and total phenolic content of Capsicum frutescens extracted by supercritical CO₂, ultrasound and traditional solvent extraction methods. *Journal of Essential Oil Bearing Plants*, 20(1), 196-204.
- [31] Firouzi, N., Farahmandfar, R., Mohammadzadeh Milani, J., & Motevali, A. (2022). Effect of basil and chitosan coating on drying kinetic, color, texture and antioxidant activity of apple slices: hot air oven and vacuum drying. *Journal of food science and technology (Iran)*, 19(122), 393-406.
- [32] Salehi, F., & Kashaninejad, M. (2017). Effect of drying methods on textural and rheological properties of basil seed gum. *International Food Research Journal*, 24(5).
- [33] Satorabi, M., Salehi, F., & Rasouli, M. (2021). Effect of edible coatings on the color



Evaluating combined effect of microwave power - edible coating on physicochemical properties of dried apple slices

Karami, S.¹, Farahmandfar, R.^{2*}, Farmani, J.², Raftani Amiri, Z.³, Motevali, A.⁴

1. PhD student, Department of Food Science and Technology, Sari Agricultural Sciences and Natural Resources University, Iran.

2. Associate Professor, Department of Food Science and Technology, Sari Agricultural Sciences and Natural Resources University, Iran.

3. Professor, Department of Food Science and Technology, Sari Agricultural Sciences and Natural Resources University, Iran.

4. Associate Professor, Department of Mechanic of Biosystem Engineering, Sari Agricultural Sciences and Natural Resources University, Iran.

ARTICLE INFO

ABSTRACT

Article History:

Received 2021/12/14

Accepted 2022/08/30

Keywords:

Microwave,
Drying kinetics,
Antioxidant activity,
Texture

DOI: 10.22034/FSCT.20.134.1
DOR: 20.1001.1.20088787.1402.20.134.1.5

*Corresponding Author E-Mail:
r.farahmandfar@sanru.ac.ir

The aim of this research was to investigate the effect of basil, sage and chitosan edible coatings on the physicochemical properties of microwave-dried apple slices. In this study, apple fruit slices were coated with basil, sage and chitosan in three concentrations (0, 0.5 and 1%) and dried at different microwave powers (90, 180 and 360 W). The drying kinetics, color, texture and antioxidant activity of apple slices were investigated. The analysis of the data indicated that the drying of the apple slices happened only in the range of the descending speed period. These data were fitted with 7 different experimental models, among the models, the most suitable models for basil, sage and chitosan coatings were Midili, Approximation of diffusion and Verma, respectively. Midili was able to predict moisture content more accurately than other models. Also, the amount of brightness, adhesiveness, cohesiveness and antioxidant activity increased with the increase of coating concentration and microwave power, but the amount of redness, yellowness, browning, general color change and hardness decreased. In general, edible coating is one of the new methods that increases the shelf life and quality of the final product. Therefore, it is recommended to treat fruits using edible coatings to increase the appearance quality and improve the color at the end of the drying process.